

Локальный уфкросслинкинг в лечении кератоэктазий

ПРОФЕССОР АНИСИМОВ С.И., 2020 МОСКВА

ГЛАЗНОЙ ЦЕНТР ВОСТОК-ПРОЗРЕНИЕ, КАФЕДРА ГЛАЗНЫХ БОЛЕЗНЕЙ МГМСУ ИМ. А.И.ЕВДОКИМОВА



АКТУАЛЬНОСТЬ

- Увеличивается количество диагностируемых кератоконусов и других эктазий роговицы
- Увеличивается количество ятрогенных кератоэктазий после лазерной коррекции аметропий



ОСНОВНЫЕ ПАТОГЕНЕТИЧЕСКИЕ ПРЕДПОСЫЛКИ КЕРАТОКОНУСА

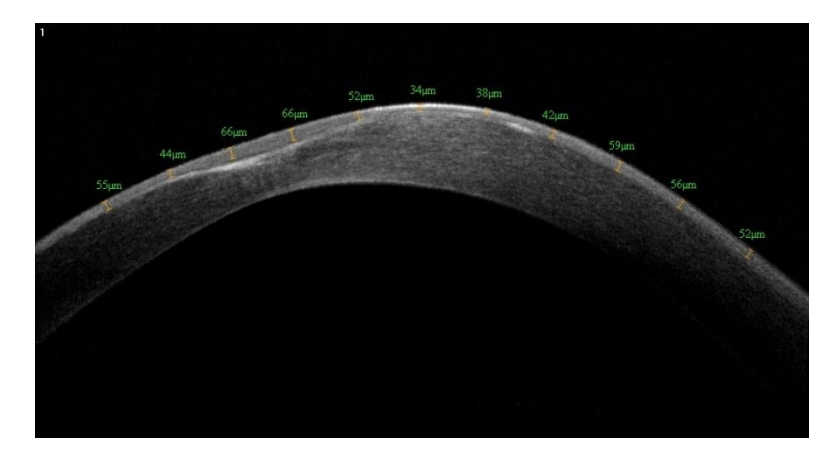
 Возникновение дисбаланса биомеханических параметров роговицы приводящего к несоответствию прочности роговицы механическим напряжениям, порождаемых в ней ВГД.

ОСНОВНЫЕ ПАТОГЕНЕТИЧЕСКИЕ ПРЕДПОСЫЛКИ ЭКТАЗИЙ - ЧТО ПЕРВИЧНО?

 Биомеханические изменения - неравномерное изменение прочностных характеристик ткани роговицы

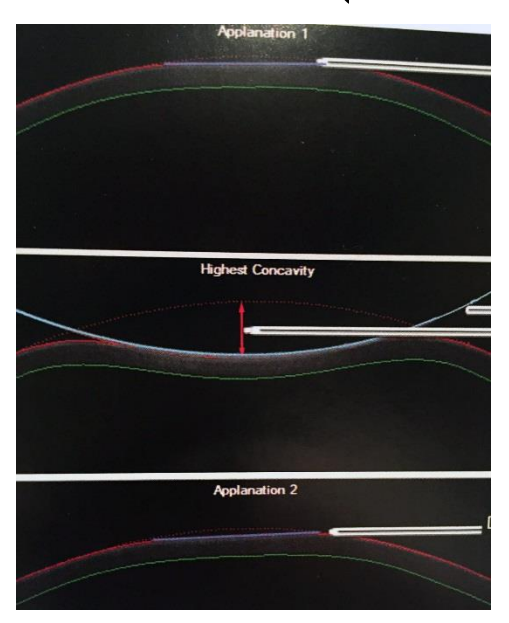


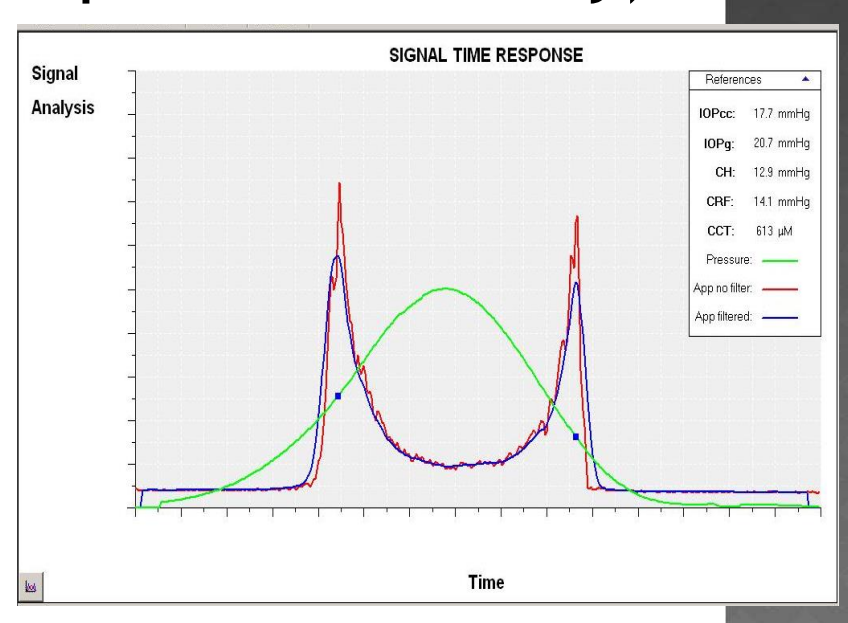
 Морфологические изменения - отклонения от нормальной кривизны и толщины слоев роговицы



ДОСТУПНЫЕ ПРИЖИЗНЕННЫЕ БИОМЕХАНИЧЕСКИЕ МЕТОДИКИ

- ORA (Ocular Response Analyzer)
- Corvis®ST (Schempflug+air pulse tonometry)





Методики дают только интегральный ответ всех оболочек глаза

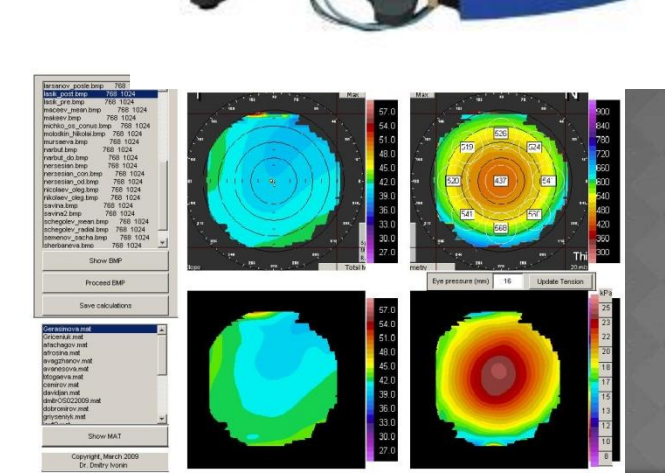
НОВЫЕ ДИАГНОСТИЧЕСКИЕ ВОЗМОЖНОСТИ ПРИ КЕРАТОКОНУСЕ



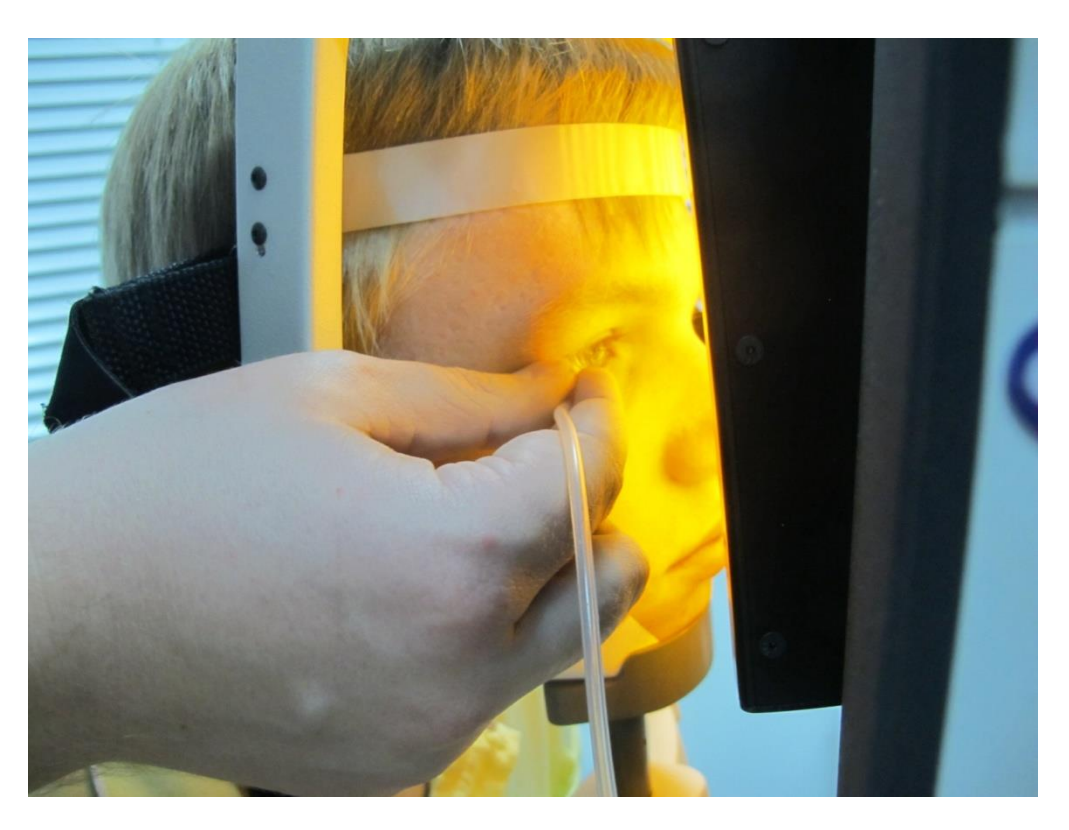
Вычисление кератотензотопограммы

Прецизионное измерение ВГД с помощью опредления Рсс

Изменения кривизны и толщины роговицы регистрируют с помощью топографов с возможностью оптической пахиметрии



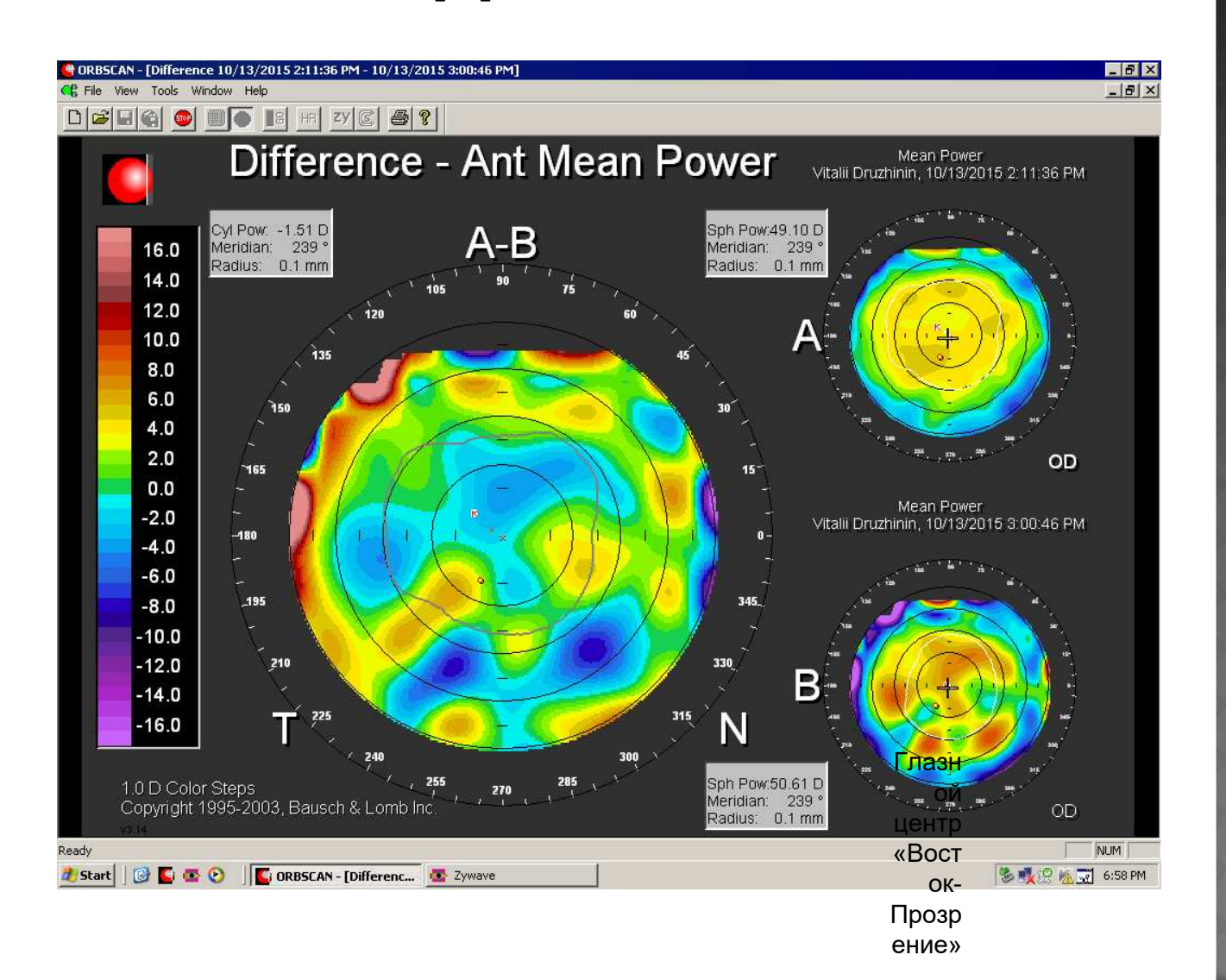
КОМПРЕССИОННЫЕ ТОПОГРАФИЧЕСКИЕ ПРОБЫ

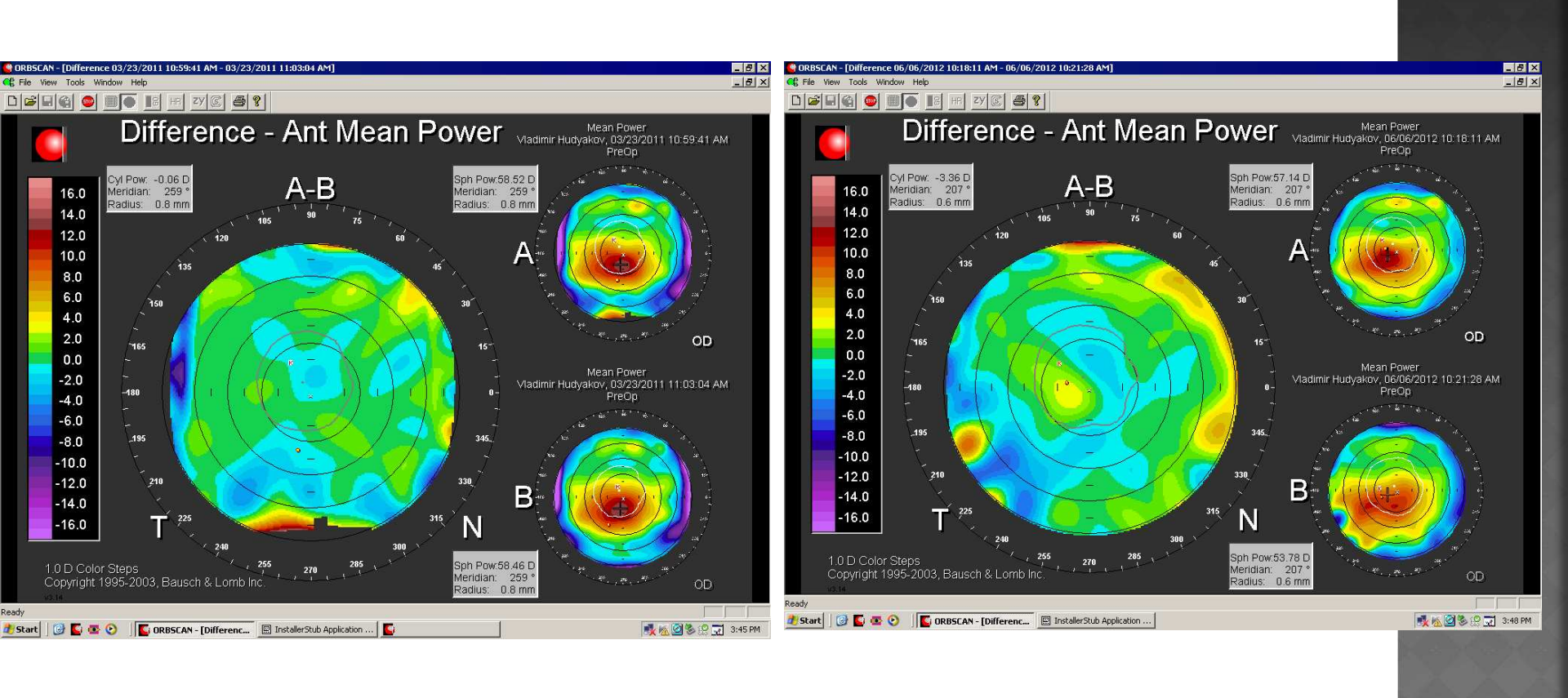


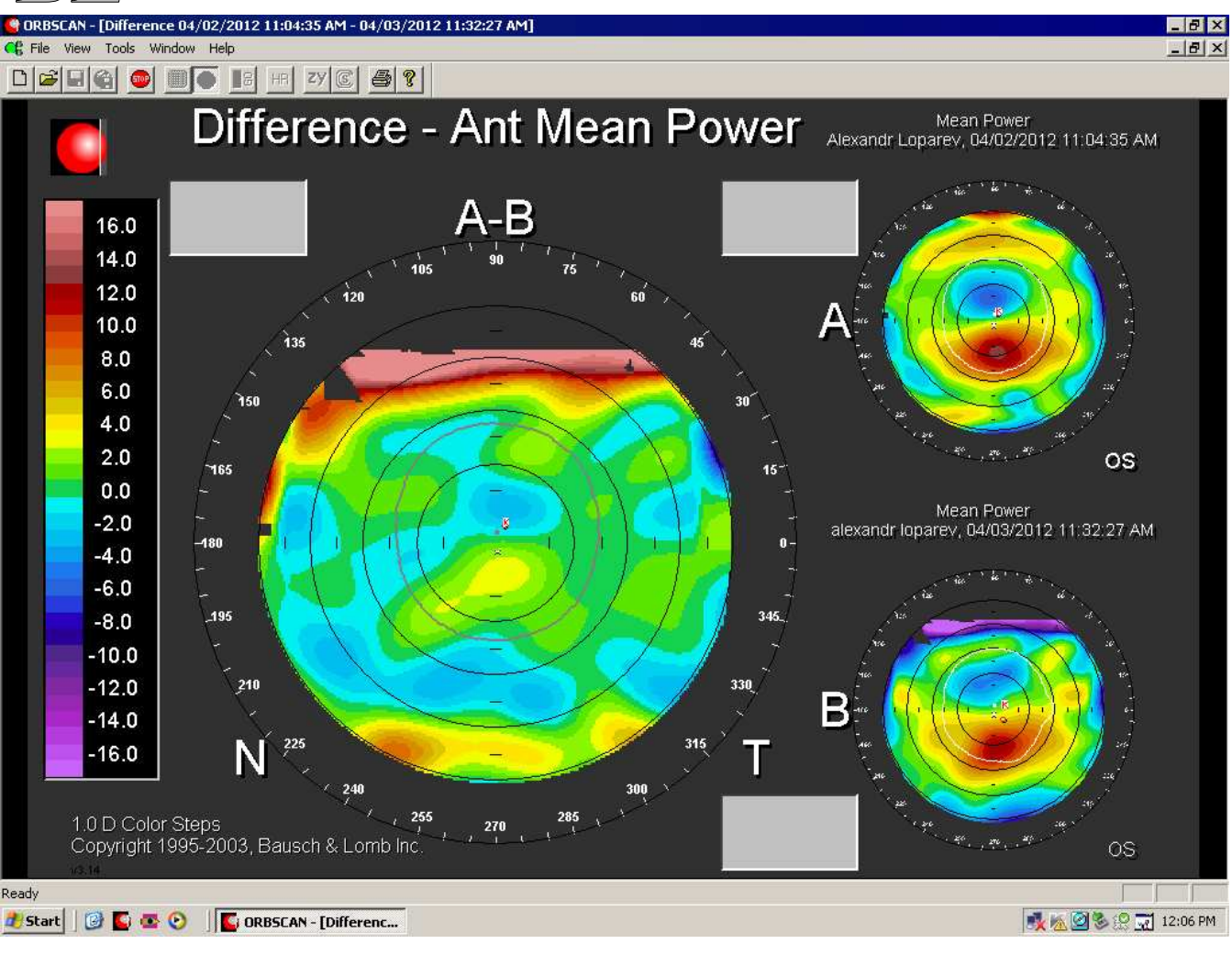
Компрессионные топографические пробы позволяют выявить зоны роговицы с пониженной ригидностью

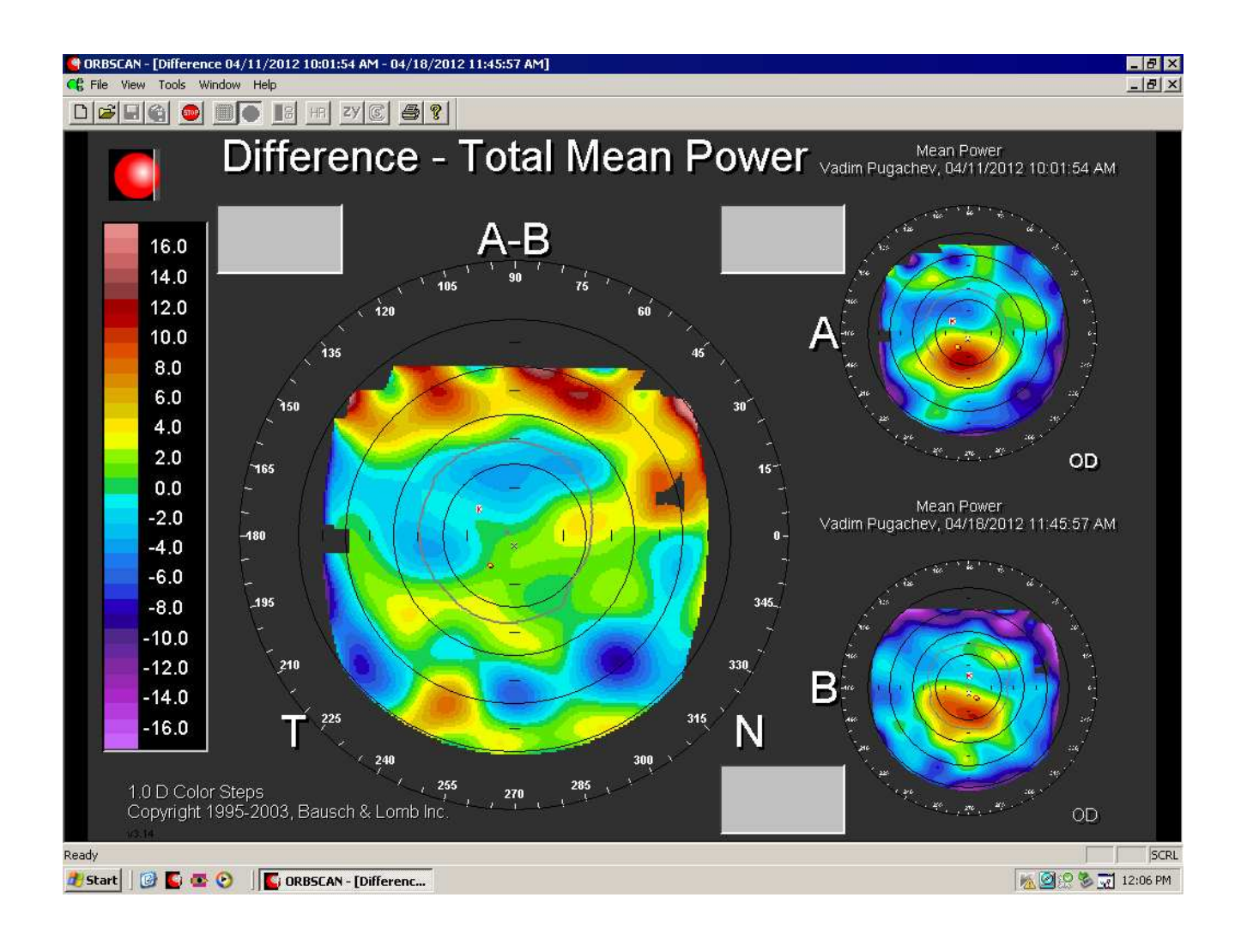


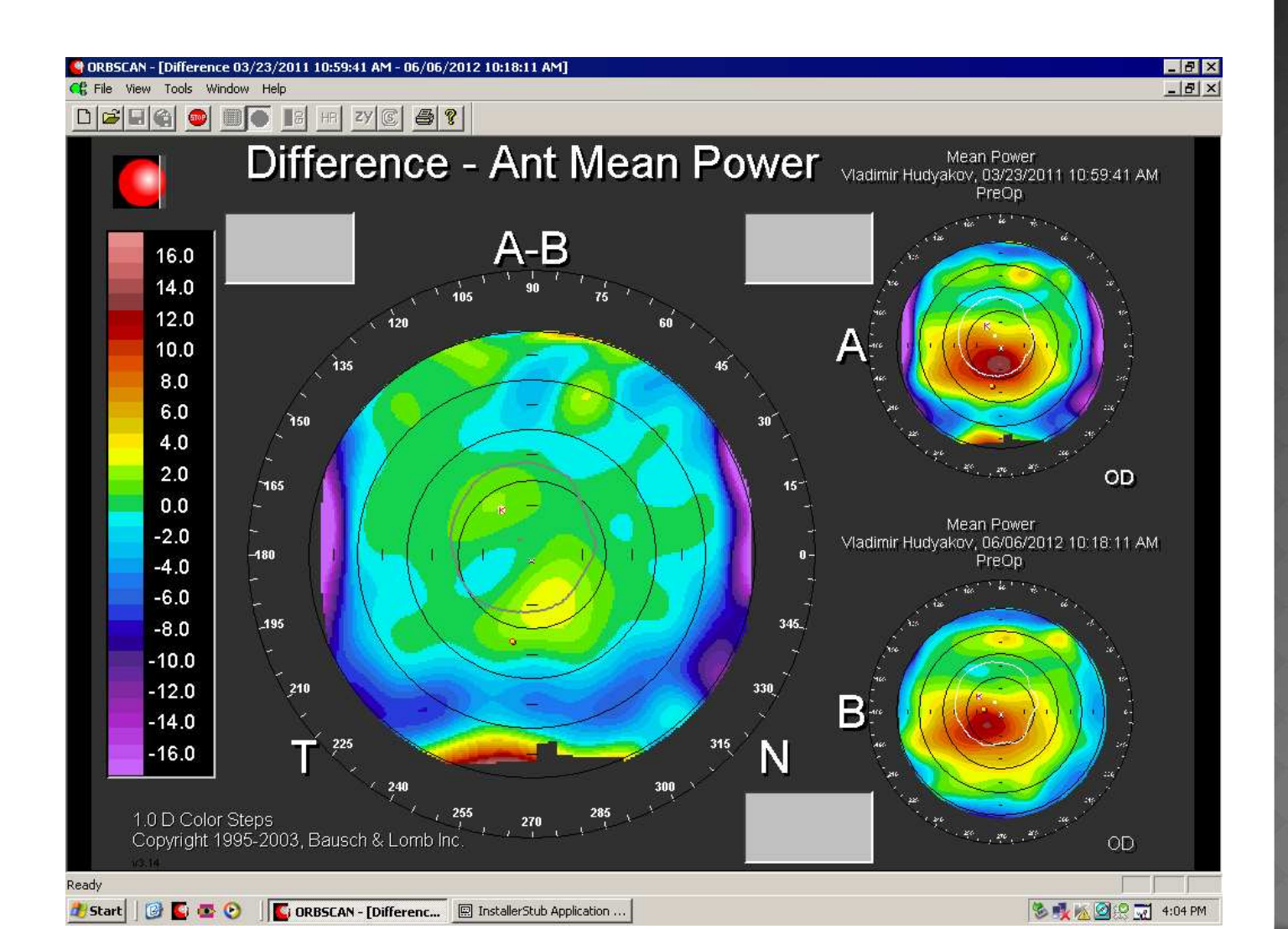
РЕАКЦИЯ ТОПОГРАФИИ НОРМАЛЬНОЙ РОГОВИЦЫ НА ПОВЫШЕНИЕ ВГД













КОНЦЕПЦИЯ ЛОКАЛЬНОГО КРОССЛИНКИНГА РОГОВИЦЫ



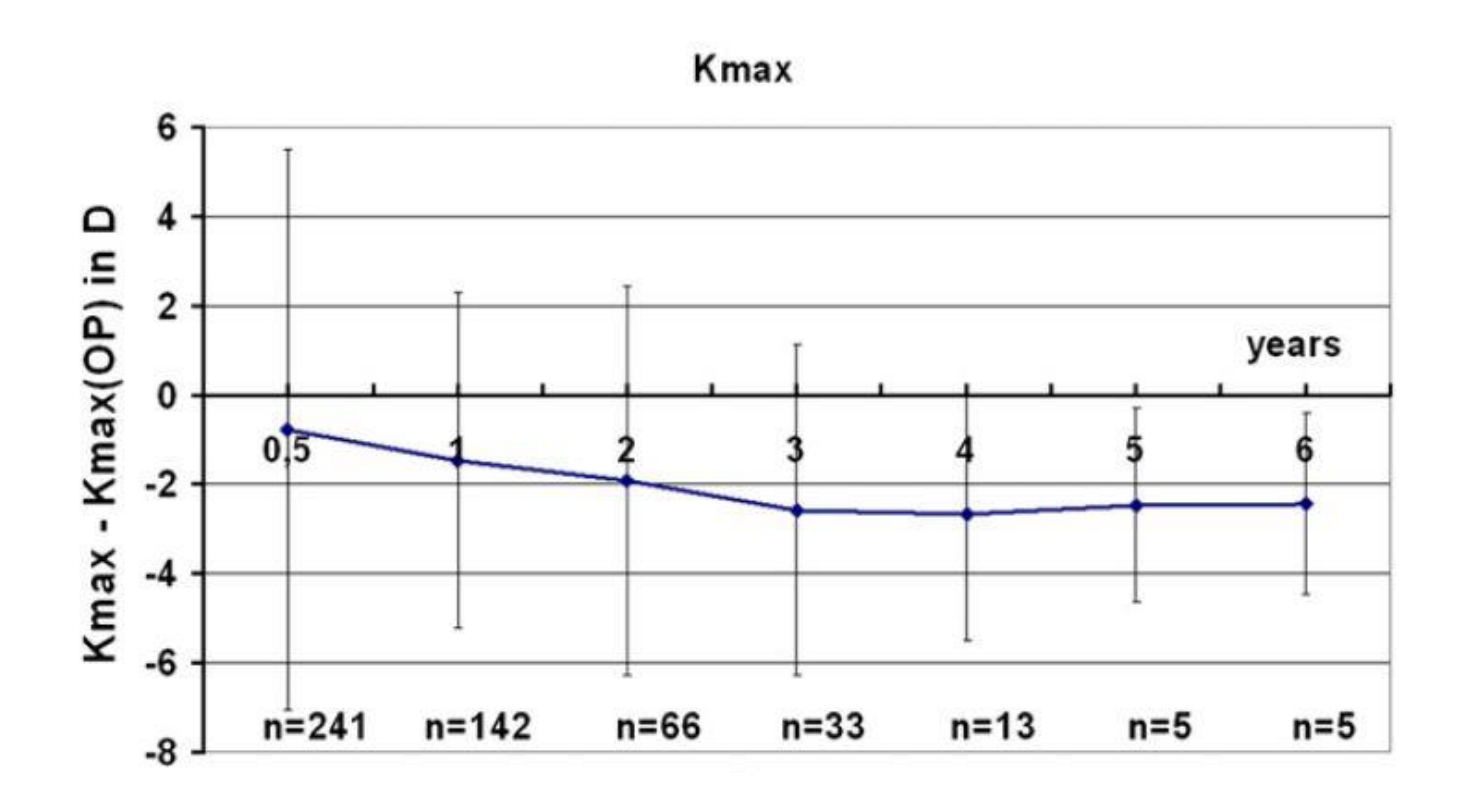
КРОССЛИНКИНГ КОРНЕАЛЬНОГО КОЛЛАГЕНА МЕХАНИЗМ ДЕЙСТВИЯ

- Рибофлавин переходит под воздействием УФ излучения в триплетно состояние, порождающее активны молекулы кислорода
- Активный кислород способствует образованию ковалентных связей в молекулах коллагена

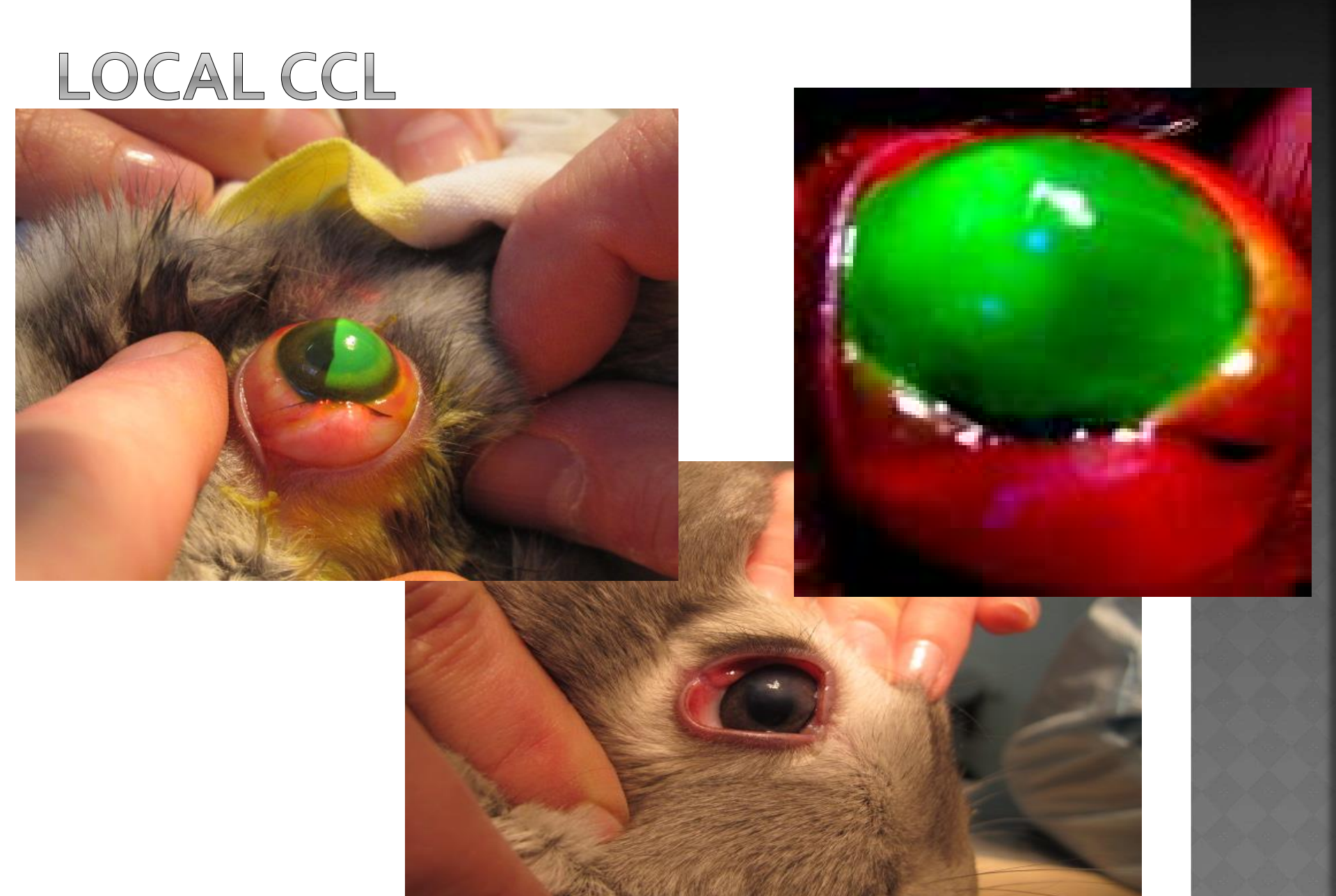
1. Combined application of UVA and riboflavin riboflavin (vit. B2) Ultraviolet irradiation 2. Production of oxygen radicals 3. Induction of collagen cross-links collagen fibril collagen fibril



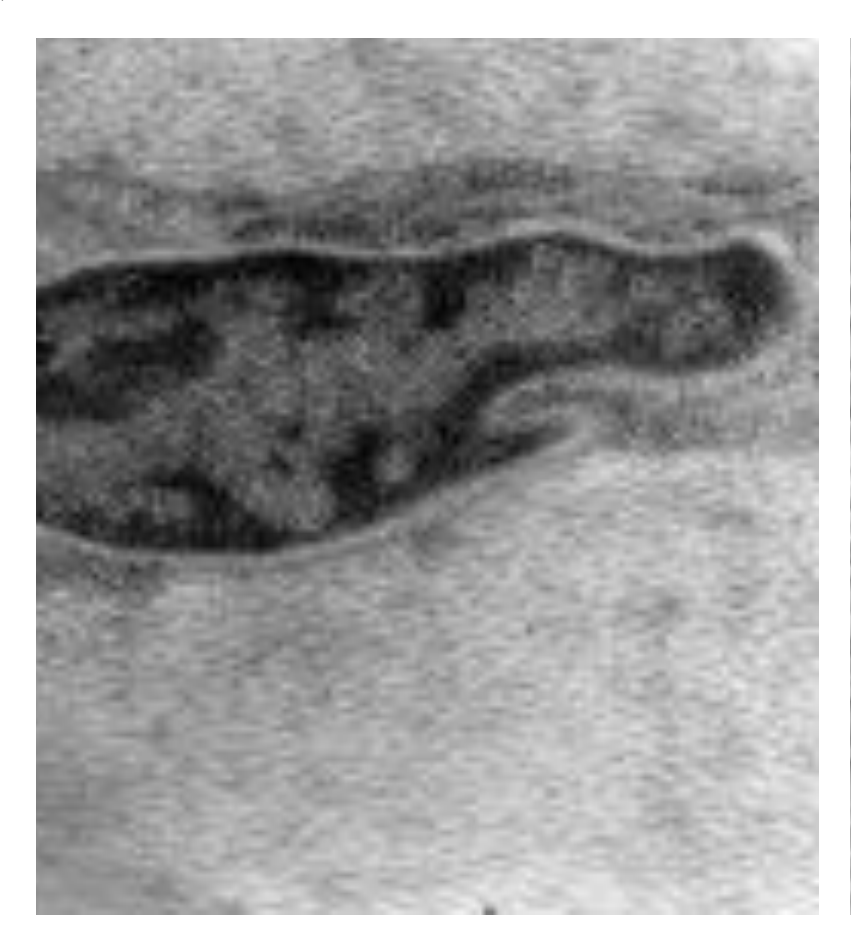
ОТДАЛЕННЫЕ РЕЗУЛЬТАТЫ

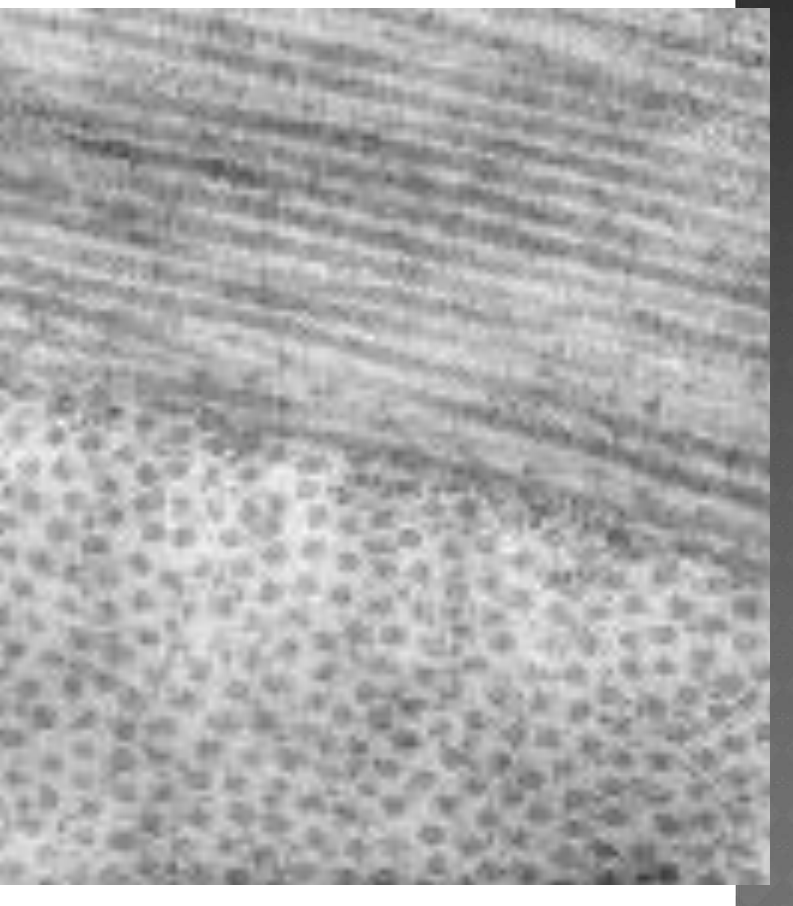


Raiskup-Wolf et al., J. Cat. Refract. Surg., 34:796, 2008.



УЛЬТРАСТРУКТУРА РОГОВИЦЫ. 5 СУТКИ ПОСЛЕ ДЭПИТЕЛИЗАЦИИ (КОНТРОЛЬНЫЙ ГЛАЗ)



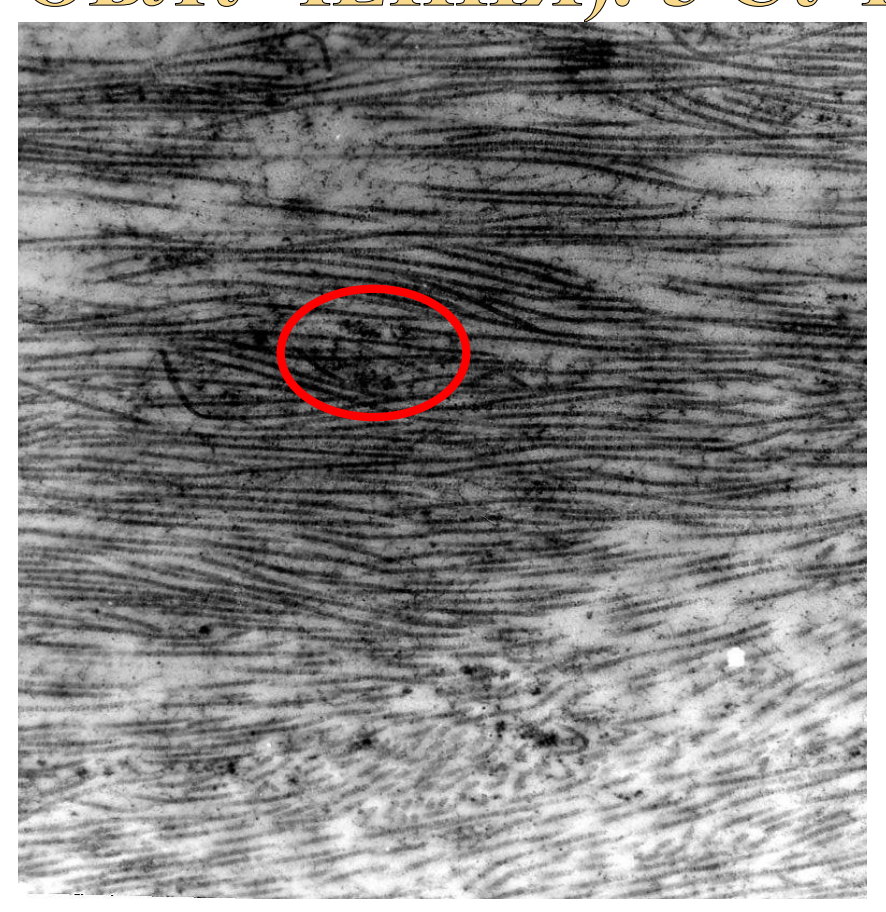


Кератоцит с неактивным ретикулумом. X 8000

Коллагеновые волокна. Х 16000

УЛЬТРАСТРУКТУРА РОГОВИЦЫ («МИНИМАЛЬНАЯ» МОЩНОСТЬ УФ

ОБЛУЧЕНИЯ). 5 СУТКИ

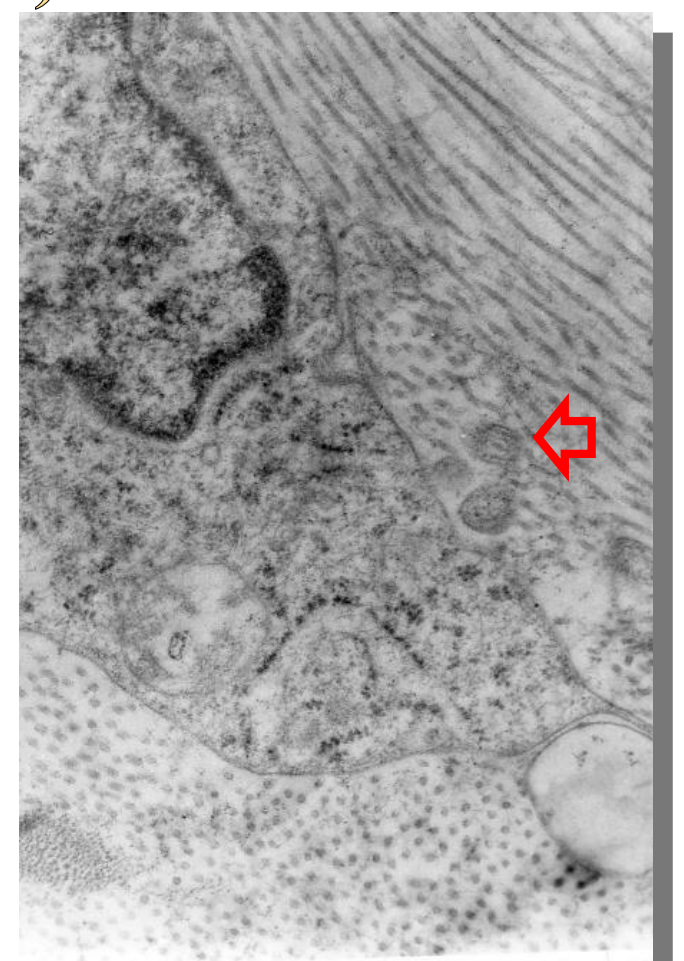


Сшивки волокон коллагена стромы роговой оболочки. X10000



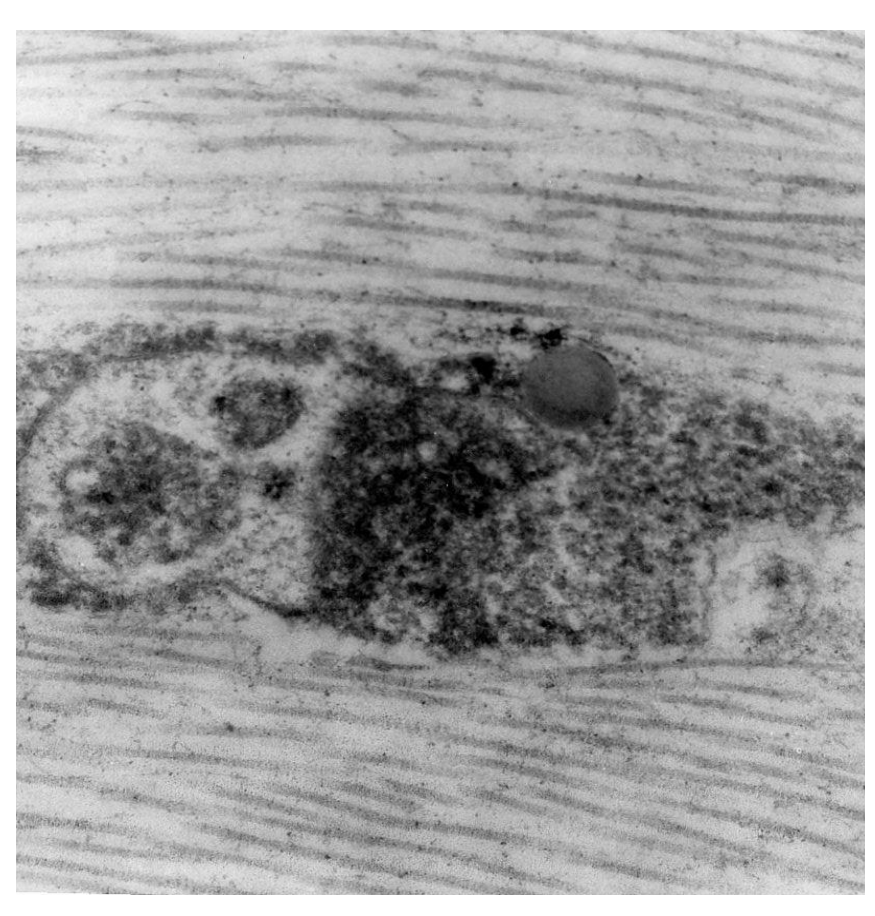
Активный кератобласт в зоне сшивки. X 16000

УЛЬТРАСТРУКТУРА РОГОВИЦЫ («МИНИМАЛЬНАЯ» МОЩНОСТЬ УФ ОБЛУЧЕНИЯ). 5 СУТКИ

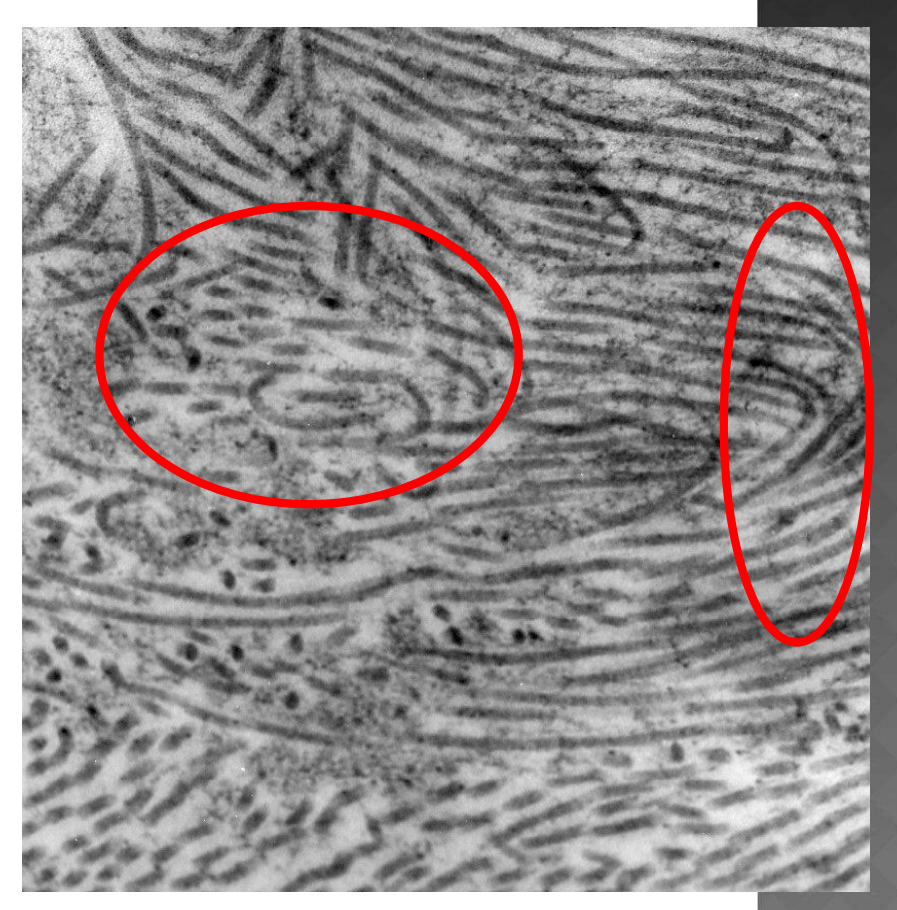


Активный фибробласт. Вблизи мембраны клетки: содержимое вакуоли высвобождается и филаменты достраивают коллагеновые волокна. Х 16000

УЛЬТРАСТРУКТУРА СЛОЕВ («МАКСИМАЛЬНАЯ» МОЩНОСТЬ УФ ОБЛУЧЕНИЯ). 5 СУТКИ



Апоптоз кератоцита стромы роговицы опытного животного. Х 10000



Сшивки волокон коллагена стромы роговой оболочки опытного животного. X 18000

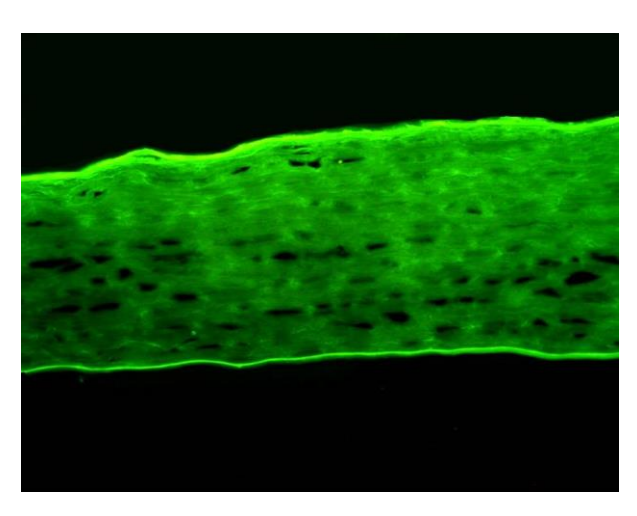


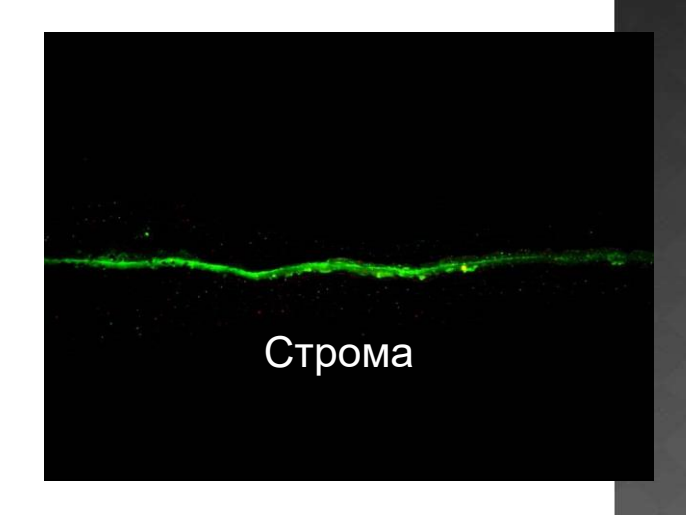


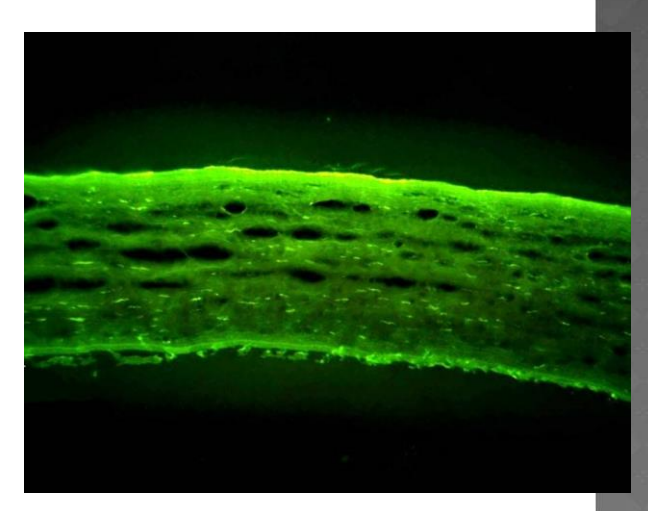


ВЛИЯНИЕ ЭПИТЕЛИЯ И УФ ОБЛУЧЕНИЯ НА АБСОРБЦИЮ РИБОФЛАВИНА











FEMTO-POCKET







ИСПОЛЬЗОВАЛИ ЦЮРИХСКИЙ ПРОТОКОЛ, НО С ПЕРСОНАЛЬНЫМИ МАСКАМИ



5,4 J (30 min)



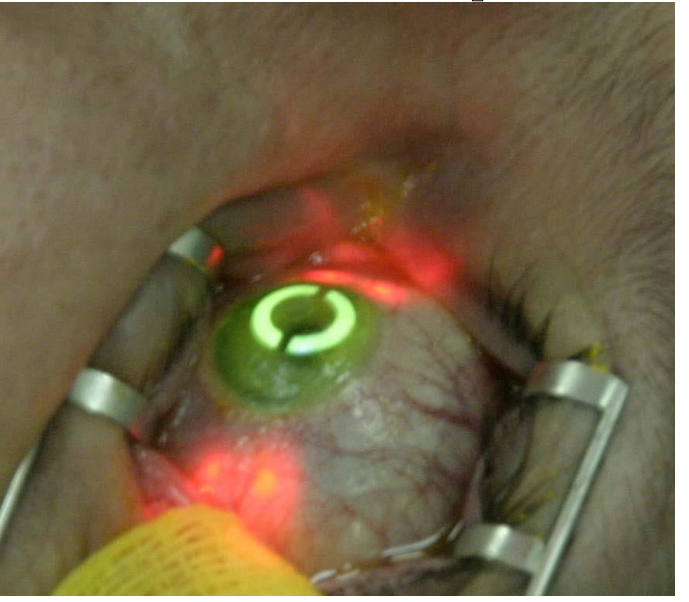
ТРЕБУЕТСЯ ДОСТАТОЧНАЯ ДЛИТЕЛЬНОСТЬ ВОЗДЕЙСТВИЯ ДЛЯ ПОЛУЧЕНИЯ КРОССЛИНКИНГА В ГЛУБОКИХ СЛОЯХ РОГОВИЦЫ

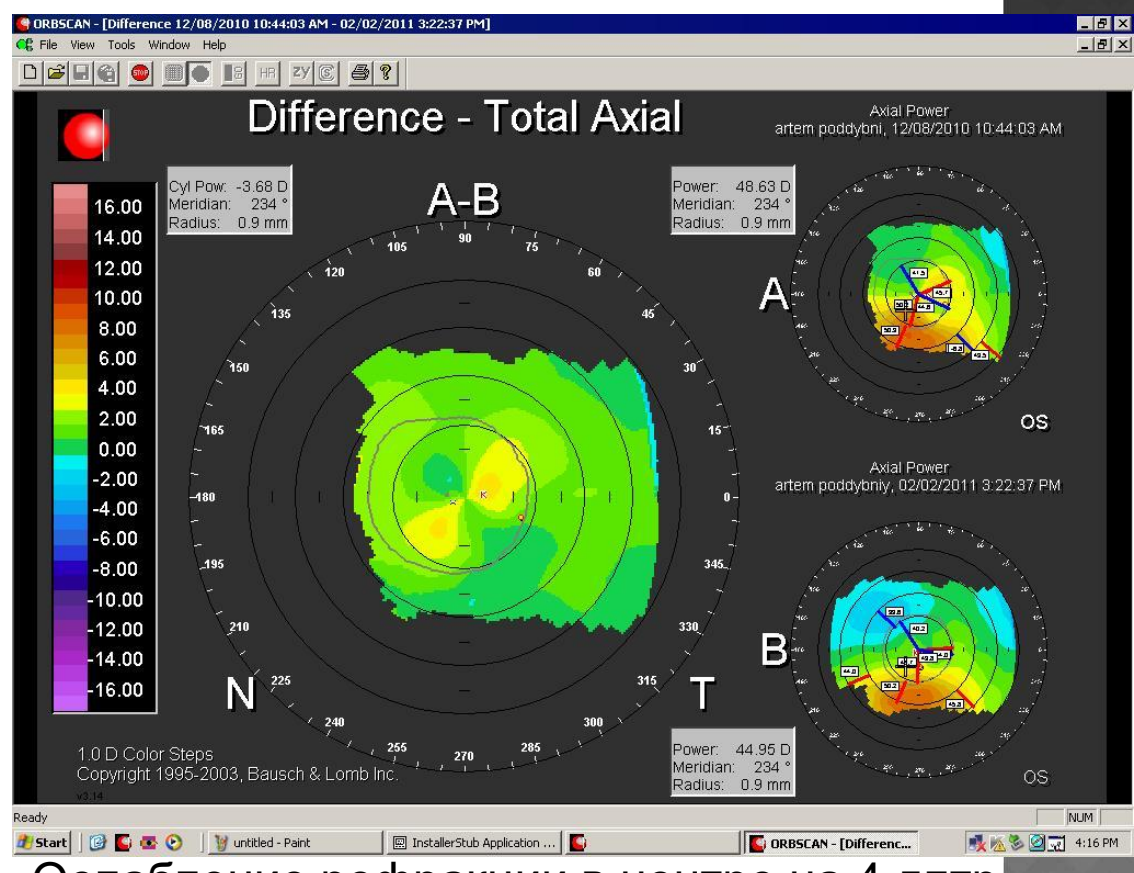
ИЗГОТОВЛЕНИЕ ИНДИВИДУАЛЬНОЙ ^{loc} РЕЖУЩЕГО ПЛОТТЕРА





ЭФФЕКТ МИОПИЧЕСКОЙ КОРРЕКЦИИ ПРИ КЕРАТОКОНУСЕ

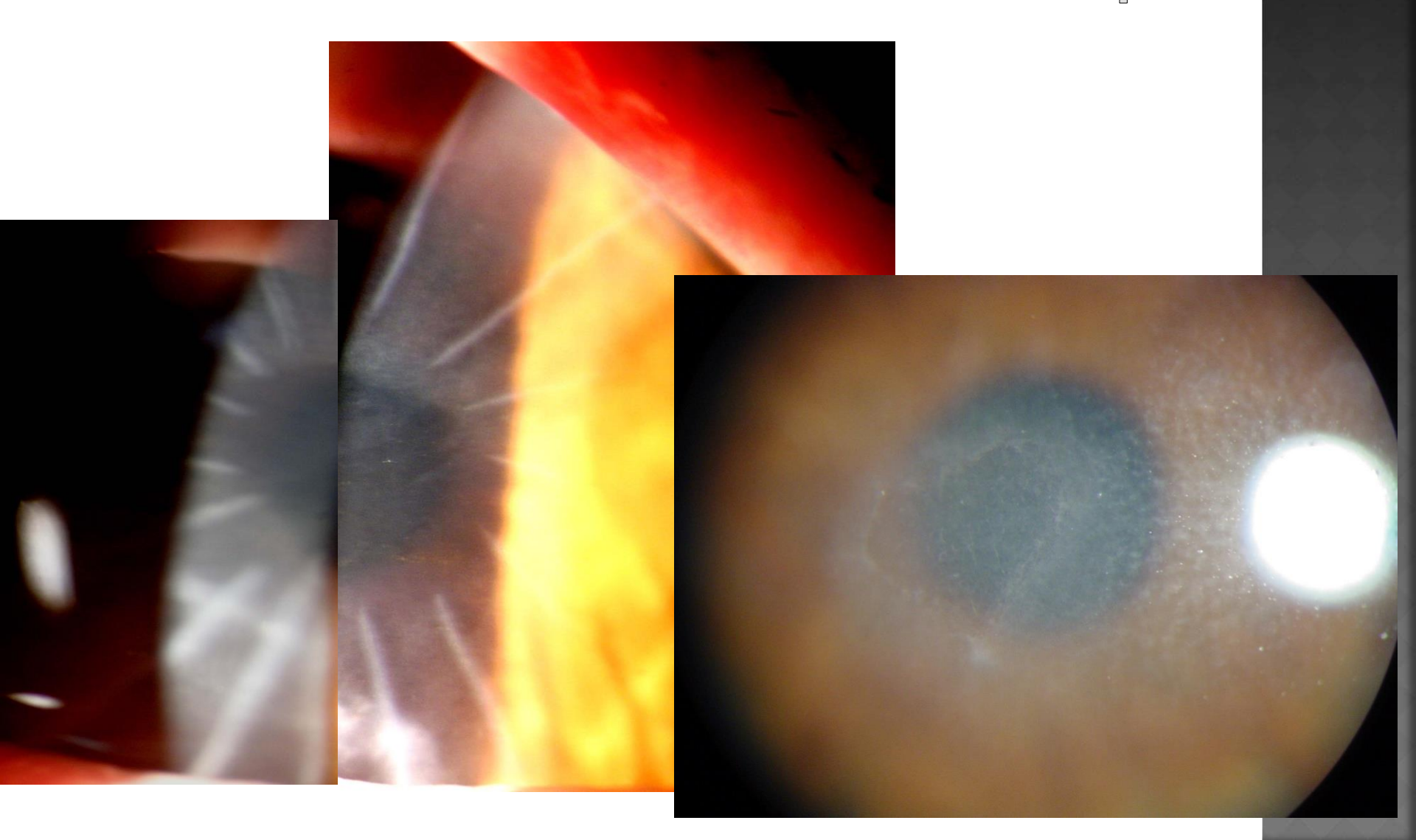


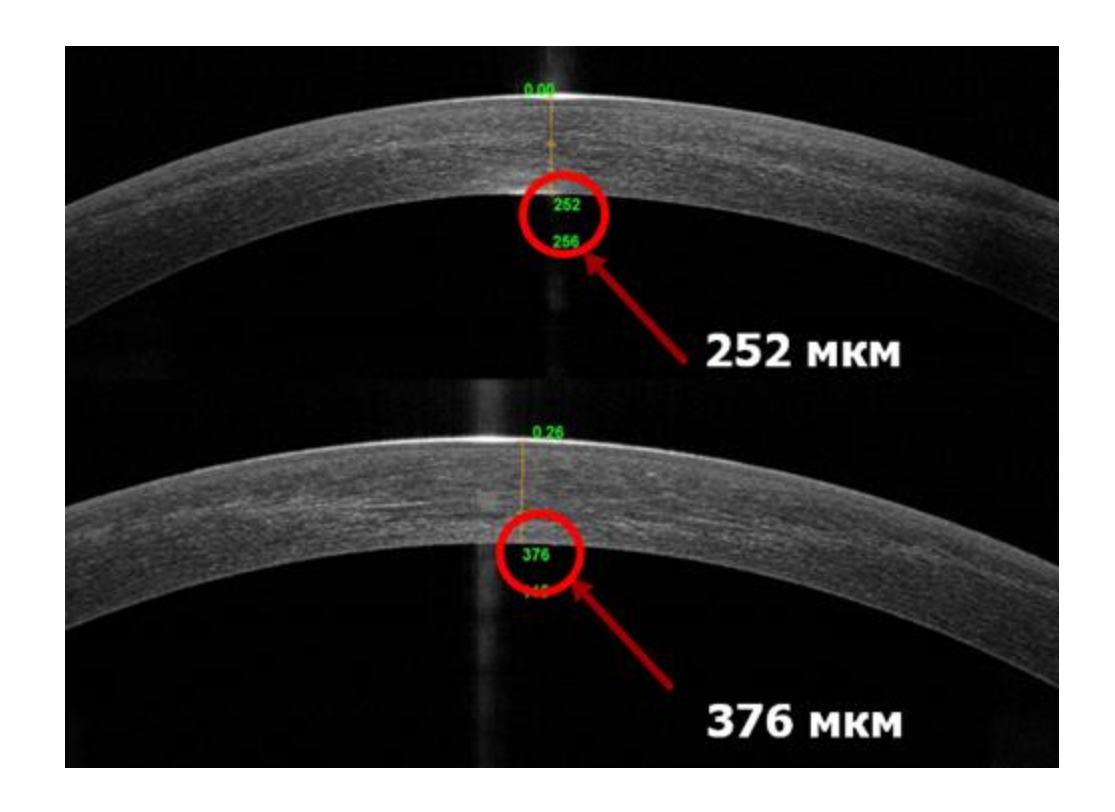


Ослабление рефракции в центре на 4 дптр



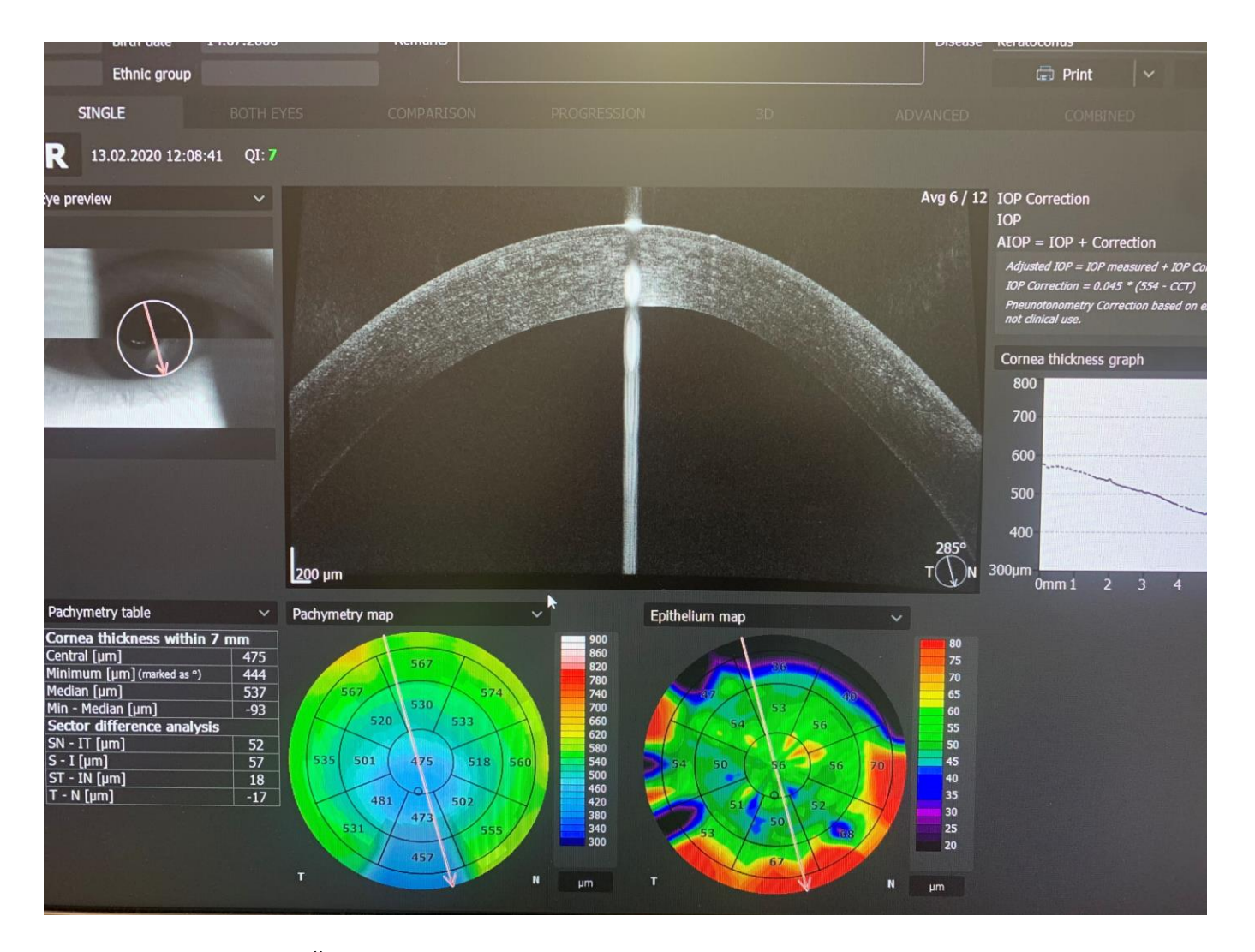
ОТСУТСТВИЕ ЯВЛЕНИЯ ХЕЙЗА В ЗАТЕНЕННЫХ ЗОНАХ РОГОВИЦЫ







Глазной центр «Восток-Прозрение»



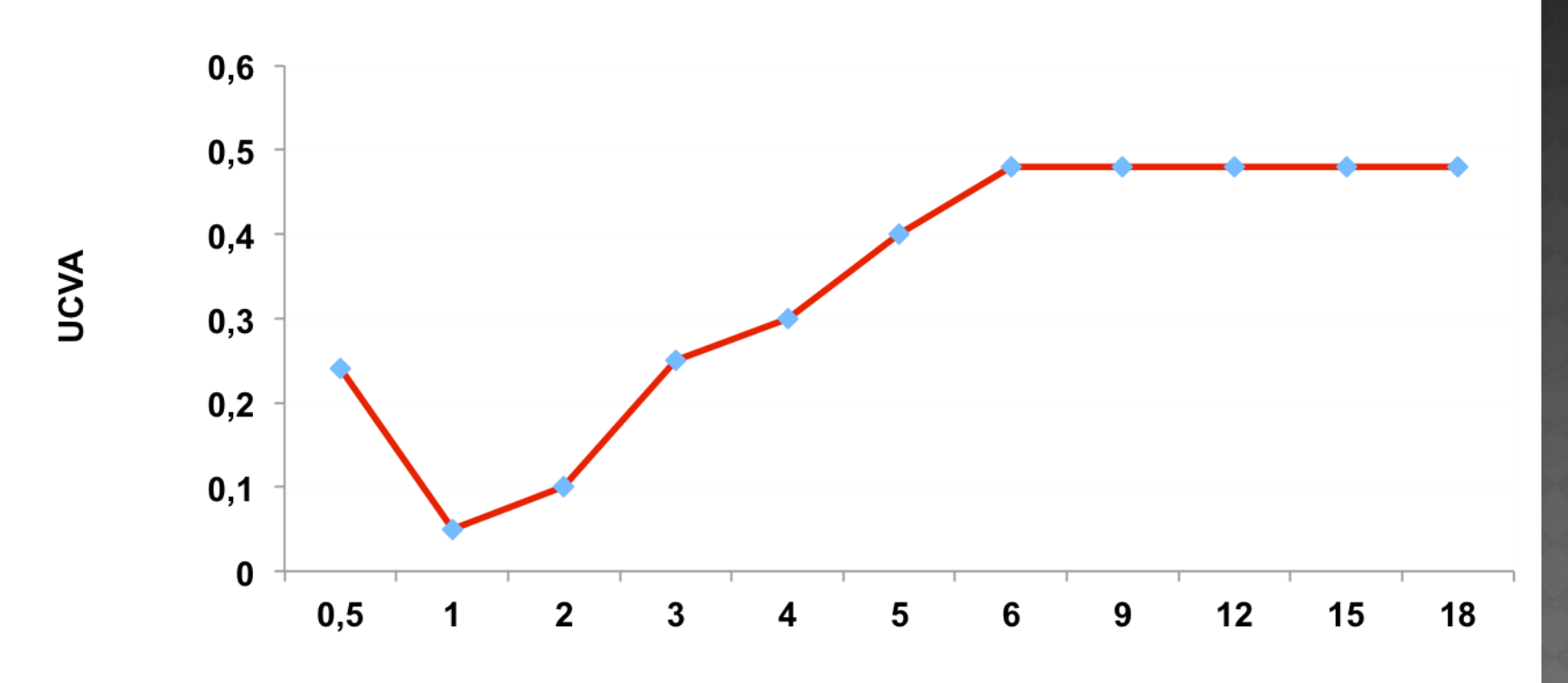
Глазной центр «Восток-Прозрение»

ПОСЛЕОПЕРАЦИОННОЕ ВЕДЕНИЕ ПАЦИЕНТОВ

- ⊚ Антибиотик (Флоксал) от 1 до 2 недель
- Протектор роговицы(Оквис Хондроитин сульфат) до 3 месяцев
- НПВС (индоколлир) в качестве обезболивающего на первые 3 -5 дней
- Кортикостероиды (Дексаметазон) при выраженном или длительном помутнении поверхностных слоев роговицы

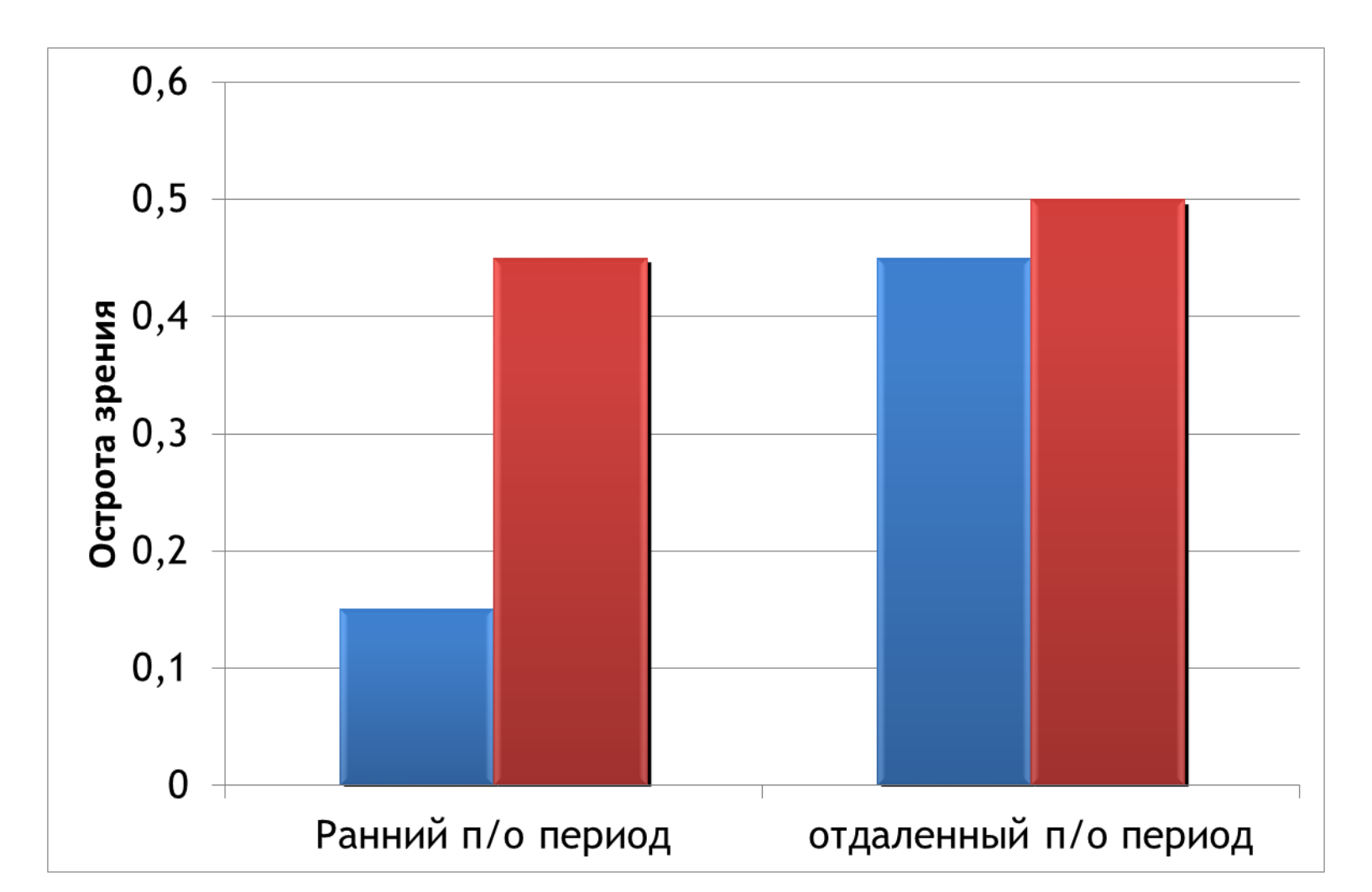


ДИНАМИКА ОСТРОТЫ ЗРЕНИЯ ПОСЛЕ ЛОКАЛЬНОГО КРОССЛИНКИНГА



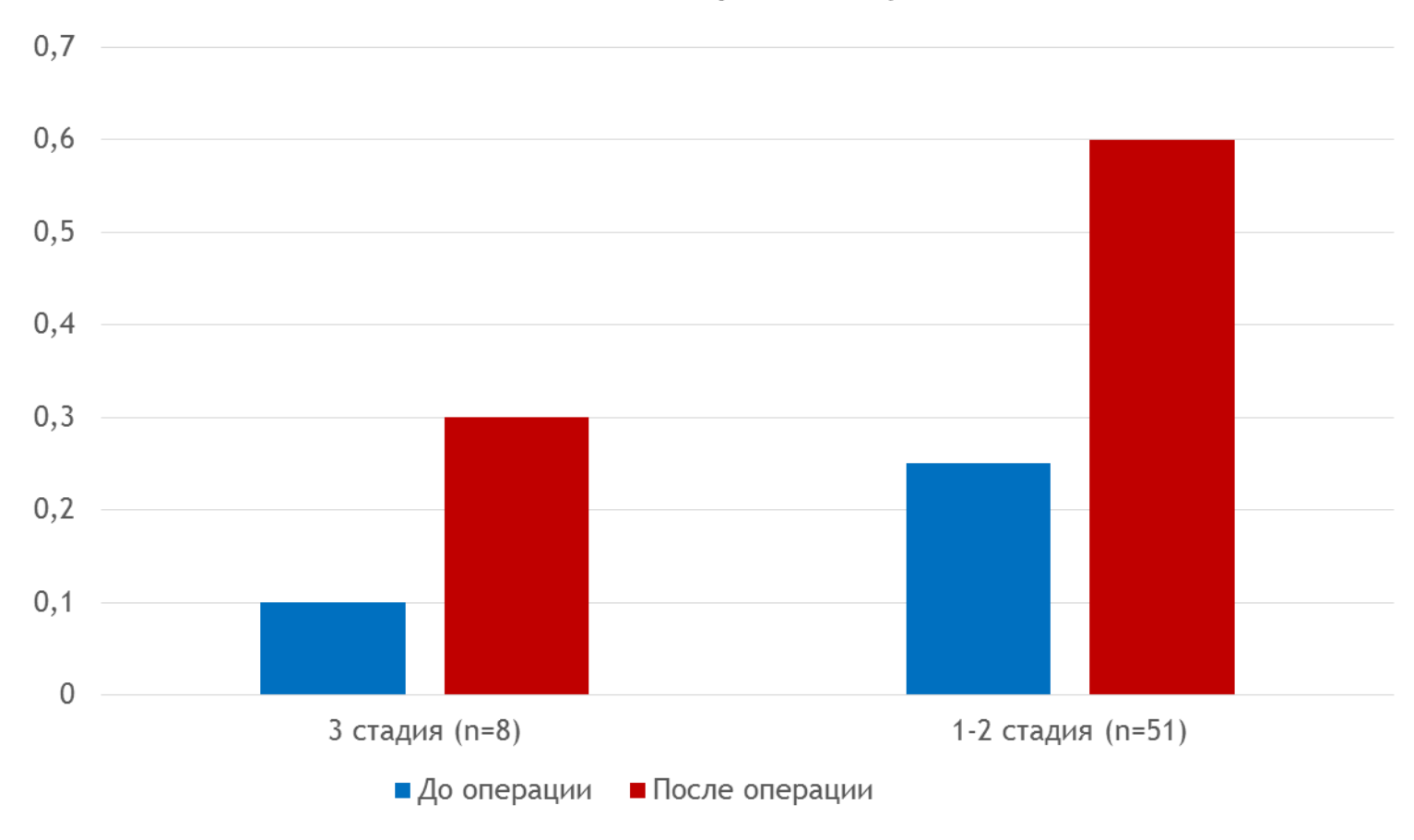
Time after the surgery, months

ЗАВИСИМОСТЬ ОСТРОТЫ БЕЗ КОРРЕКЦИИ ЗРЕНИЯ ОТ МЕТОДИКИ КРОССЛИНКИНГА (N=49) срок наблюдения до 36 мес



ЗАВИСИМОСТЬ ОСТРОТЫ БЕЗ КОРРЕКЦИИ ЗРЕНИЯ ОТ СТАДИИ КЕРАТОКОНУСА (N=59) СРОК НАБЛЮДЕНИЯ ДО 36 МЕС

 Некоррегируемая острота зрения в зависимости от стадии кератоконуса



Глазной центр «Восток-Прозрение»

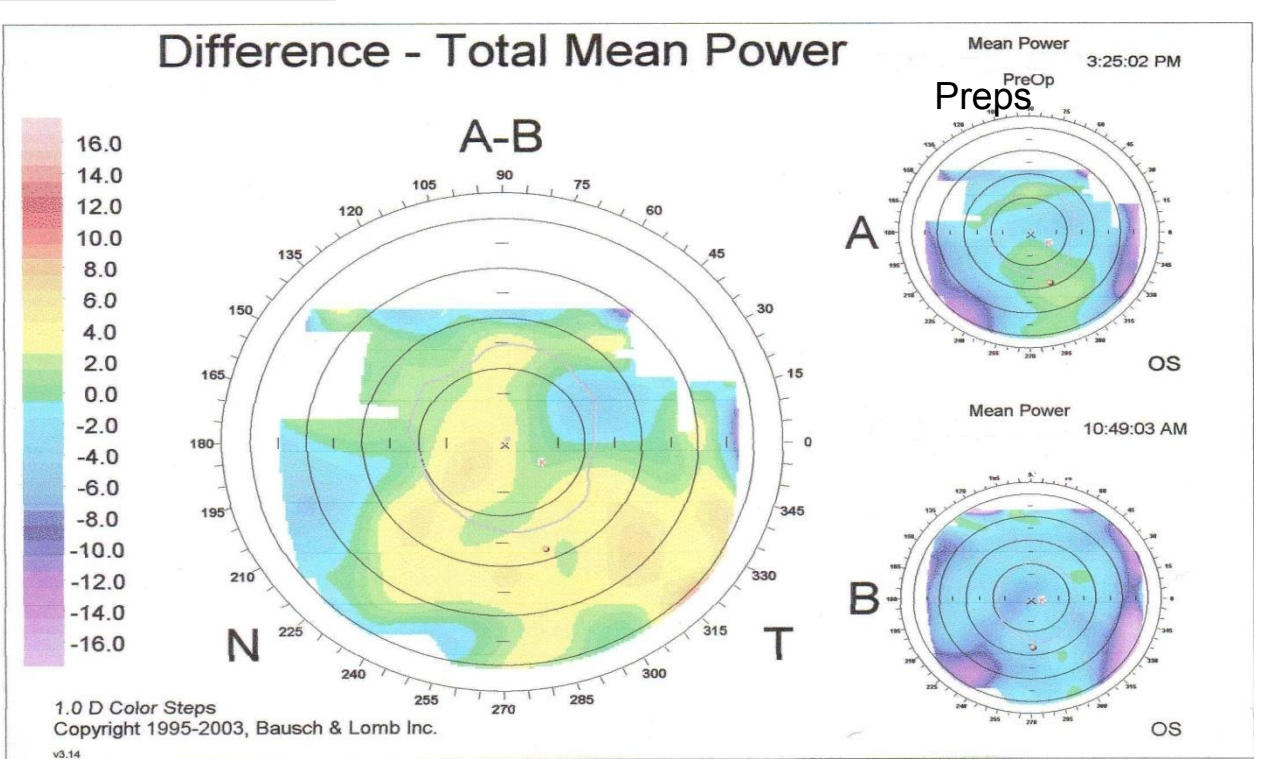


КЛИНИЧЕСКИЕ РЕЗУЛЬТАТЫ КОРРЕКЦИИ КЕРАТОКОНУСА (N=59) СРОК НАБЛЮДЕНИЯ ДО 36 МЕС. (1-3 СТ. КЕРАТОКОНУСА)

Показатель	До LCCL	После LCCL
UCVA	0,3 +/-0,2	0,6+/-0,2
BSCVA	0,8+/- 0,2	1,0+/- 0,1
Средняя кератометрия (D)	52,0+/- 1,8	47,1+/-1,8

ЭФФЕКТ МИОПИЧЕСКОЙ КОРРЕКЦИИ ПРИ КЕРАТОКОНУСЕ

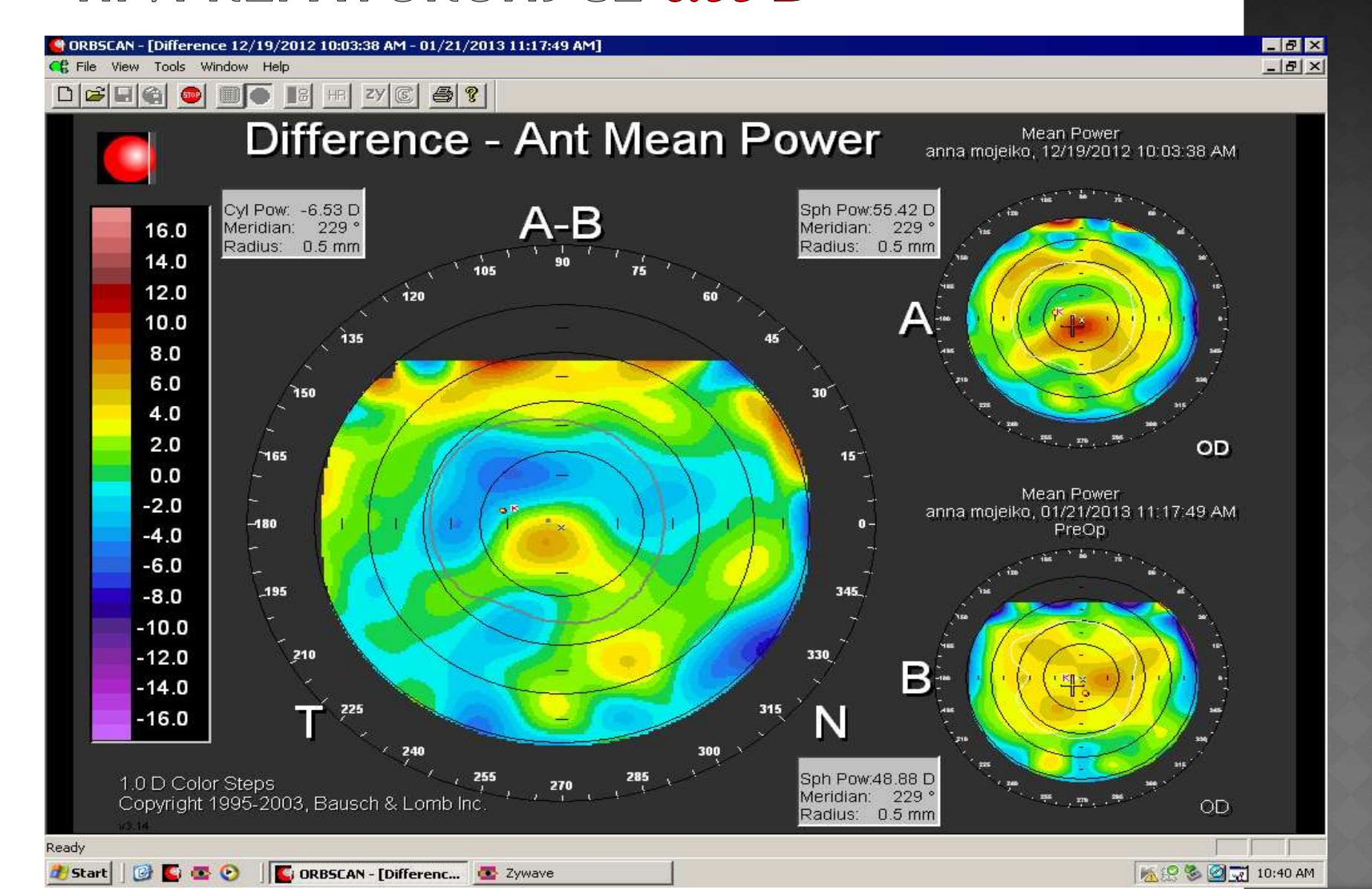
Patient C., 27 years old.



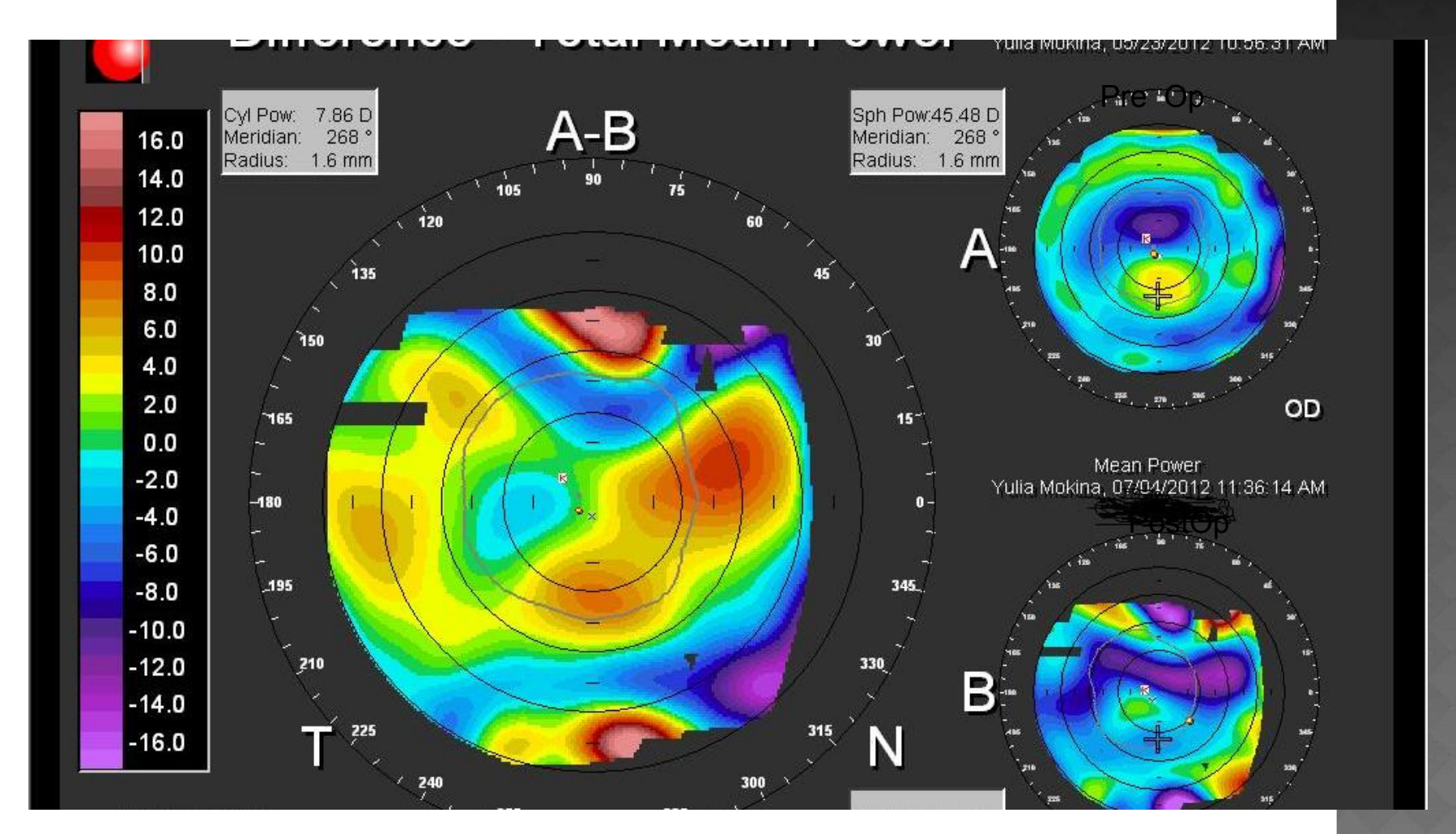
Pre-op: 0,15 sph +2,0 cyl -3,25 ax $100^{\circ} = 0,7-0,8$ In 6 months after the surgery: 0,7 cyl - 1,0 ax $95^{\circ} = 1,0$



ЭФФЕКТ МИОПИЧЕСКОЙ КОРРЕКЦИИ ПРИ КЕРАТОКОНУСЕ 6.53 D



ЭФФЕКТ МИОПИЧЕСКОЙ КОРРЕКЦИИ ПРИ КЕРАТОКОНУСЕ 7,86 D







ВЫВОДЫ:

- Локальный кросслинкинг эффективен при коррекции эктазий и аметропий
- Локальный кросслинкинг обладает выраженным управляемым рефракционным эффектом
- Локальный кросслинкинг позволяет снизить воспалительную реакцию на процедуру

